

Обобщенная HBS-модель обтекания листа растения воздухом

С.А. Саженков^{1,2}, Е.В. Саженкова³

*¹ИГиЛ СО РАН, ²НГУ, Новосибирск, Хэйлуцзянский ун-т,
Харбин; ³НГУЭУ, Новосибирск*

1. Предисловие. Опираясь на известную в теории пограничного слоя модель стационарного ламинарного обтекания плоской пластины с одним приваренным к ней перпендикулярно штырем [1], очень простая и при этом востребованная постановка для описания аэродинамики в окрестности листа растения была предложена в статье [2]. На ее основании проведен ряд несложных численных расчетов. Для изучения молекулярных механизмов развития органов растений методами системной биологии требуется создание более общей модели, учитывающей тонкую структуру трихом (ворсинок) на поверхности листа. В настоящей заметке формулируется такая модель, получаемая методом усреднения системы «вязкий газ – упругая пластина» с тонкой двойной периодической упругой структурой, прикрепленной к поверхности пластины. Эта постановка обобщает модель К.-Х. Хоффмана, Н.Д. Боткина и В.Н. Старовойтова (HBS-model), построенную в [3]. Достаточно обширный обзор литературы, подробная постановка исходной задачи на микроскопическом уровне, основы метода усреднения Аллера-Бриана и некоторые промежуточные на пути построения итоговой модели результаты изложены в [4, 5].

2. Описание механической системы на микроскопическом уровне. Рассматривается линеаризованная модель динамики совместного движения упругой пластины с щетинистой поверхностью (листа растения с трихомами) и вязкого сжимаемого газа (воздуха). Без ограничения общности считается, что пластина и газ заполняют трехмерный куб $\Omega = \{0 < x_1, x_2, x_3 < 1\}$. Пластина расположена на дне куба и занимает слой $\Omega_s = \{0 < x_3 < \Delta\}$ ($\Delta < 1$). Щетинки (трихомы) моделируются в виде упругих цилиндров, достаточно часто периодически расположенных на гладкой поверхности пластины. Предполагается наличие цилиндров двух размеров: цилиндры меньшей высоты и меньшего диаметра расположены на порядок или несколько порядков чаще, чем цилиндры большей высоты и большего диаметра. Высоты цилиндров фиксированы и принимают два постоянных значения δ_* и

δ^* , $\delta_* < \delta^*$, $\Delta + \delta^* < 1$. Расстояние между центральными осями двух соседних больших цилиндров есть $O(\varepsilon)$, а двух соседних маленьких – $O(\varepsilon^2)$, где ε – малый положительный параметр.

Движение газа описывается классическими нестационарными уравнениями Стокса, а движение упругой компоненты – классическими нестационарными уравнениями Ламе. На поверхности соприкосновения выполняются условия непрерывности скоростей и напряжений. В системе уравнений и условий на поверхности искомыми являются поле скоростей $\mathbf{u}_\varepsilon = \mathbf{u}_\varepsilon(\mathbf{x}, t)$ и давление $p_\varepsilon = p_\varepsilon(\mathbf{x}, t)$ в газе и поле перемещений $\mathbf{v}_\varepsilon = \mathbf{v}_\varepsilon(\mathbf{x}, t)$ частиц пластины с цилиндрами. Модель замыкается заданием начальных условий $\mathbf{u}_\varepsilon|_{t=0} = \mathbf{u}^0$, $p_\varepsilon|_{t=0} = p^0$, $\mathbf{v}_\varepsilon|_{t=0} = \mathbf{v}^0$,

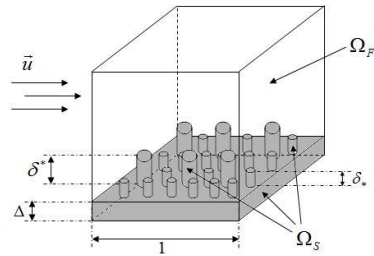
$(\partial \mathbf{v}_\varepsilon / \partial t)|_{t=0} = \mathbf{w}^0$ на распределения скорости газа, давления в газе, перемещения и скорости пластины с цилиндрами, соответственно, и заданием условия покоя поверхности пластины и условия распределения скорости воздуха на внешней границе Ω .

Полная точная постановка исходной задачи сформулирована в [4,5], следуя оригинальному изложению в [3, п. 2.1]. Существование и единственность слабого обобщенного решения задачи при любом малом фиксированном $\varepsilon > 0$ вытекает из известных результатов в [6, глава 1, п. 9.1].

В вышеописанной постановке учитывается каждый отдельный цилиндр (трихома, щетинка). Следовательно, она является моделью на *микроскопическом уровне*.

3. О предельном переходе при $\varepsilon \rightarrow 0$ и асимптотической декомпозиции. Целью работы является предельный переход в микроскопической модели при $\varepsilon \rightarrow 0$ и вывод эффективных соотношений, описывающих механическую систему на *макроскопическом уровне*. Для этого сначала вводится единообразное описание в терминах искомых скоростей: распределение перемещений \mathbf{v}_ε в упругой компоненте заменяется на распределение скоростей \mathbf{u}_ε по формуле $\mathbf{v}_\varepsilon = \mathbf{v}^0 + \mathbf{J}_t \mathbf{u}_\varepsilon$, где

$(\mathbf{J}_t \phi)(t) = \int_0^t \phi(t') dt'$ для всевозможных интегрируемых ϕ . Затем уста-



навливается, что $\mathbf{u}_\varepsilon \xrightarrow{\varepsilon \rightarrow 0} \mathbf{u}$ по мере в $\Omega \times (0, T)$. Методом гомогенизации Аллера–Бриана выводится трехмасштабная усредненная модель, решением которой служат распределение макроскопической скорости \mathbf{u} , а также распределения мезоскопической и микроскопической скоростей $\mathbf{u}^{(1)}$ и $\mathbf{u}^{(2)}$ [4]. Наконец, производится асимптотическая декомпозиция, заключающаяся в разделении микро-, мезо- и макроскопического масштабов, и тем самым конструируется эффективная предельная система.

4. Обобщенная HBS-модель. (Эффективная предельная модель обтекания листа с трихомами воздухом.) В дополнение к Ω_ε введем обозначения еще для трех слоев в Ω : $\Omega_{\delta_*} = \{ \Delta < x_3 < \Delta + \delta_* \}$, $\Omega_{\delta^*} = \{ \Delta + \delta_* < x_3 < \Delta + \delta^* \}$, $\Omega_f = \{ \Delta + \delta^* < x_3 < 1 \}$ и сформулируем предельную систему соотношений, которой удовлетворяет распределение скоростей $\mathbf{u} = \lim_{\varepsilon \rightarrow 0} \mathbf{u}_\varepsilon$.

В Ω_f выполняются классические уравнения Стокса вязкого газа:

$$\rho_f \mathbf{u}_t - \operatorname{div}_x (\mathbf{P} \nabla_x \mathbf{u}) = -\nabla_x p + \rho_f \mathbf{g}, \quad (1)$$

$$p = -\gamma^{-1} \operatorname{div}_x J_t \mathbf{u} + p^0, \quad (2)$$

$$\mathbf{P} \nabla_x \mathbf{u} = (\lambda \operatorname{div}_x \mathbf{u}) \mathbf{I} + 2\mu \mathbf{D}_x(\mathbf{u}). \quad (3)$$

В Ω_{δ^*} и Ω_{δ_*} движение описывается нелокальными уравнениями динамики вязкоупругого тела:

$$\begin{aligned} \rho_{\delta^*} \mathbf{u}_t - \operatorname{div}_x \left(\mathbf{V}_{0\delta^*} : \mathbf{D}_x(\mathbf{u}) + \mathbf{E}_{0\delta^*} : \mathbf{D}_x(J_t \mathbf{u}) \right. \\ \left. + \int_0^t \mathbf{V}_{1\delta^*}(t-\tau) : \mathbf{D}_x(\mathbf{u}(\tau)) d\tau + J_t \int_0^t \mathbf{E}_{1\delta^*}(t-\tau) : \mathbf{D}_x(\mathbf{u}(\tau)) d\tau \right. \\ \left. + \mathbf{L}_{\delta^*} p^0 + \mathbf{K}_{\delta^*} : \mathbf{D}_x(\mathbf{v}^0) \right) = \rho_{\delta^*} \mathbf{g}, \quad x \in \Omega_{\delta^*}; \end{aligned} \quad (4)$$

$$\begin{aligned} \rho_{\delta_*} \mathbf{u}_t - \operatorname{div}_x \left(\mathbf{V}_{0\delta_*} : \mathbf{D}_x(\mathbf{u}) + \mathbf{E}_{0\delta_*} : \mathbf{D}_x(J_t \mathbf{u}) \right. \\ \left. + \int_0^t \mathbf{V}_{1\delta_*}(t-\tau) : \mathbf{D}_x(\mathbf{u}(\tau)) d\tau + J_t \int_0^t \mathbf{E}_{1\delta_*}(t-\tau) : \mathbf{D}_x(\mathbf{u}(\tau)) d\tau \right. \\ \left. + \int_0^t \left[\int_0^\tau \mathbf{V}_{2\delta_*}(t-\tau, \tau-\tau') : \mathbf{D}_x(\mathbf{u}(\tau')) d\tau' \right] d\tau \right. \\ \left. + J_t \int_0^t \left[\int_0^\tau \mathbf{E}_{2\delta_*}(t-\tau, \tau-\tau') : \mathbf{D}_x(\mathbf{u}(\tau')) d\tau' \right] d\tau \right) \end{aligned}$$

$$+\mathbf{L}_{\delta_s} p^0 + \mathbf{K}_{\delta_s} : \mathbf{D}_x(\mathbf{v}^0) = \rho_{\delta_s} \mathbf{g}, \quad x \in \Omega_{\delta_s}; \quad (5)$$

В Ω_s выполняются классические уравнения Ламе линейной упругости

$$\rho_s \mathbf{u}_t - \operatorname{div}_x (\mathbf{G} : J_t \nabla_x \mathbf{u} + \mathbf{G} : \nabla_x \mathbf{v}^0) = \rho_F \mathbf{g}. \quad (6)$$

Эта система дополняется краевыми условиями на \mathbf{u} на внешней границе области Ω , условиями непрерывности полей скоростей и напряжений на поверхностях раздела слоев.

Таким образом, сконструирована замкнутая корректная гомогенная HBS-модель.

В (1)-(6) $\mathbf{V}_{0\delta_s}$ и $\mathbf{V}_{0\delta^*}$ – это тензоры мгновенной вязкости, $\mathbf{E}_{0\delta_s}$, $\mathbf{E}_{0\delta^*}$ – тензоры мгновенной упругости, $\mathbf{V}_{1\delta_s}(t)$, $\mathbf{V}_{1\delta^*}(t)$ и $\mathbf{V}_{2\delta_s}(t, \tau)$ – тензоры вязкой релаксации, $\mathbf{E}_{1\delta_s}(t)$, $\mathbf{E}_{1\delta^*}(t)$ и $\mathbf{E}_{2\delta_s}(t, \tau)$ – тензоры упругой релаксации. Все они являются тензорами четвертого порядка, определяются физическими характеристиками мезоскопической и микроскопической структур и считаются заданными. Матрицы \mathbf{L}_{δ_s} , \mathbf{L}_{δ^*} и тензоры четвертого порядка \mathbf{K}_{δ_s} , \mathbf{K}_{δ^*} также определяются физическими характеристиками мезоскопической и микроскопической структур и считаются заданными. Они зависят от t . Постоянные величины ρ_F , ρ_s , ρ_{δ_s} и ρ_{δ^*} – это средние заданные плотности среды в слоях Ω_f , Ω_s , Ω_{δ_s} и Ω_{δ^*} , соответственно.

Работа С.А. Саженкова поддержана Министерством науки и высшего образования РФ (код проекта III.22.4.2) и РФФИ (грант № 18-01-00649).

Библиографический список

1. Goldstein S. (Editor). Modern Developments in Fluid Dynamics: Volume II. – New York: Dover Publication, 1965. – 702 pp.
2. Schreuder M.D.J., Brewer C.A., Heine C. Modelled influences of non-exchanging trichomes on leaf boundary layers and gas exchange // J.Theor. Biol. – 2001. – V. 210. – P. 23–32.
3. Hoffmann K.-H., Botkin N.D., Starovoitov V.N. Homogenization of interfaces between rapidly oscillating fine elastic structures and fluids // SIAM J.Appl. Math. – 2005. – Vol. 65, no.3. – P. 983–1005.
4. Саженков С.А., Шибанова Е.В. Исследование аэродинамики в окрестности листа растения с учетом опушения методом гомогениза-

ции Аллера-Бриана // Известия Алтайского государственного университета. – Барнаул, 2016. – №1 (89). – С. 173–179.

5. Саженок С.А. Описание аэродинамики в окрестности листа растения с учетом опушения с помощью модифицированной HBS-модели // Ломоносовские чтения на Алтае: фундаментальные проблемы науки и образования [Электронный ресурс]: сб. науч. ст. междунар. конф., 14-17 ноября 2017 г./ АлтГУ; [отв. ред. Е. Д. Родионов]. – Барнаул: АлтГУ, 2017. – 1 эл. опт. диск (DVD). – № гос. регистрации 0321704250. – С. 477–487.

6. Лионс Ж.-Л. Некоторые методы решения нелинейных краевых задач. – М.: Мир, 1972. – 588 с.

УДК 551.345 + 539.3

Расчет физических характеристик почвогрунтов в процессе внутренней эрозии и прогноз их разрушения

А.Н. Сибин

АлтГУ, г. Барнаул

Процесс эрозии почвогрунтов имеет большое значение при решении прикладных задач в сельском хозяйстве: ирригация и дренаж сельскохозяйственных полей [1] и процесс внутренней эрозии, сопутствующий каналному орошению почвогрунтов [2]. Процесс эрозии необходимо учитывать в исследованиях, связанных с прогнозом распространения загрязнений, фильтрацией вблизи водохранилищ и других гидротехнических сооружений [3]. Более того, аналогичные проблемы, связанные с процессом эрозии грунта, возникают и в других областях, включая добычу нефти и газа [4].

В работе численно исследована двумерная задача внутренней суффозии в межмерзлотном водоносном горизонте. Фильтрация подземных вод происходит в водоносном горизонте, который соприкасается с промерзшим песчаным грунтом. В процессе оттаивания грунта и при достижении определенной величины скорости фильтрации происходит вынос частиц грунта из области течения. В качестве математической модели использованы уравнения сохранения массы для воды, подвижных твердых частиц и неподвижного пористого скелета, а также закон Дарси для воды и подвижных твердых частиц и соотношение для интенсивности суффозионного потока. Задача сведена к системе из трех уравнений относительно пористости, приведенного давления и выходящегося на решении уравнения для водонасыщенности. Почвогрунт моделируется как трехфазная сплошная пористая среда.